

# Перекрестное взаимное тепловое влияние в матрицах поверхностно излучающих лазеров с «вертикальным» выводом излучения

© С.М. Захаров<sup>†</sup>

Институт высокопроизводительных вычислительных систем Российской академии наук,  
117872 Москва, Россия

(Получена 10 мая 2000 г. Принята к печати 9 ноября 2000 г.)

Рассматриваются вопросы взаимного теплового влияния лазеров с вертикальным выводом излучения, работающих в режиме матрицы. Оцениваются тепловые сопротивления для различных конфигураций лазеров в матрице.

## Введение

На пути решения тепловых проблем в инжекционных лазерах с «вертикальным» выводом излучения (или вертикально излучающих лазерах — ВИЛ) имеются значительные трудности, связанные прежде всего со сложным характером распределения тепловых источников в объеме лазера, а также двухмерным характером протекания электрического тока. На сегодняшний день уже накоплен некоторый экспериментальный материал, относящийся к тепловым явлениям в матрицах ВИЛ [1–5].

В этих условиях имеют важное значение работы, в которых рассматриваются вопросы моделирования матриц ВИЛ [6–12]. При моделировании ВИЛ необходимо построение единой физической модели, учитывающей как оптические, так тепловые и электрические свойства поверхностно излучающих лазеров в целом. Последнее обстоятельство по сути дела диктует необходимость использования методов численного моделирования, позволяющих адекватно учитывать совокупности отмеченных свойств, а также конструктивных решений, связанных со сложной геометрией устройств. В силу этого методы численного моделирования по необходимости приводят к требованию использования значительных вычислительных ресурсов. В этих условиях приобретают значение более упрощенные подходы, позволяющие прежде всего аналитически проводить оценку тепловых параметров.

В настоящей работе на основе простейших модельных решений для различных конфигураций работающих лазеров в матрице вычислены тепловые сопротивления, учитывающие взаимное или перекрестное влияние лазеров друг на друга. В частности, отмечается асимметрия в тепловых свойствах центральных, угловых и краевых лазеров. Проведено детальное сравнение полученных результатов с экспериментальными данными.

## 1. Эффективные тепловые сопротивления с функцией взаимного влияния

Определим тепловое сопротивление  $R_{ij}^{\text{th}}$  с функцией взаимного влияния каких-либо лазеров как отношение приращения температуры  $\Delta T_i$   $i$ -го лазера к тепловой

мощности  $P_j$ , выделяемой при работе  $j$ -го лазера:

$$R_{ij}^{\text{th}} = \frac{\Delta T_i}{P_j}. \quad (1)$$

Отметим, что данное определение не является строгим, поскольку в области лазера правильнее говорить о распределении температурного поля. Однако тепловые сопротивления довольно часто используются в инженерных расчетах, поскольку позволяют легко оценивать приращение температуры (вместе с тем и температуру активной области лазера) вследствие диссипации тепловой мощности [1–5].

В рассматриваемой нами модели матрицы ВИЛ потери теплового потока через верхнюю (контакт с воздухом) и боковую (контакт с пассивирующим полиимидом) поверхности лазера не происходит. Это означает, что теплообмен между лазерами осуществляется только через подложку. В подложке же происходит перераспределение теплового потока в двух взаимно перпендикулярных направлениях, при этом часть теплового потока «уходит на бесконечность», как в случае полубесконечной среды, либо теряется при контакте с «хладопроводом» (телом, температура которого считается неизменной) — в случае подложки в виде неограниченного слоя конечной толщины. Таким образом, тепловая задача сводится к нахождению распределения температурного поля вдоль поверхности полупроводниковой подложки.

При этом оказывается удобным воспользоваться простейшими модельными решениями тепловых задач. Например, в случае точечного источника тепла установившаяся температура поверхности ( $z = 0$ ) изменяется по закону  $1/r$ , поэтому

$$R_{ij}^{\text{th}}(r) = \frac{1}{2\pi\kappa r}, \quad (2)$$

где  $r = |\mathbf{r}_i - \mathbf{r}_j|$ . Отметим, что переменные  $\{r, z\}$  относятся к цилиндрической системе координат.

В том случае, когда тепловой поток «вводится» в круговую область радиуса  $R$  подложки толщиной  $l$  с постоянной плотностью  $q = P/\pi R^2$  ( $q$ -модель), по аналогии с [13] можно получить:

$$T(r, 0) = \frac{P}{\pi\kappa R} \int_0^\infty \tanh(\lambda l) J_0(\lambda r) J_1(\lambda R) \frac{d\lambda}{\lambda},$$

<sup>†</sup> Факс: (095) 332 48 62

откуда

$$R_{ij}^{\text{th}}(r) = R_0^{\text{th}} \int_0^{\infty} 2 \tanh\left(\frac{l}{R}x\right) J_0\left(\frac{r}{R}x\right) J_1(x) \frac{dx}{x}, \quad (3)$$

где  $R_0^{\text{th}} = (2\pi\kappa R)^{-1}$ .

В случае распределенного теплового потока, определяемого постоянной температурой  $T$  круговой (радиуса  $R$ ) области ( $T$ -модель), получаем

$$R_{ij}^{\text{th}}(r) = R_0^{\text{th}} \int_0^{\infty} 2 \tanh\left(\frac{l}{R}x\right) J_0\left(\frac{r}{R}x\right) \frac{\sin x}{x} dx. \quad (4)$$

Два последних интеграла (3), (4) имеют аналитические решения при  $l/R \gg 1$ , поскольку при таком значении параметра  $l/R$  область, где функция  $\tanh[(l/R)x]$  отлична от единицы, мала, и она не дает существенного вклада при интегрировании. При  $l/R \leq 1$  эта функция будет занижать значение интеграла. Физически это означает, что эффективные тепловые сопротивления при взаимном (перекрестном) влиянии в случае подложки конечной толщины  $l$  будут меньше, чем в случае полубесконечной среды ( $l \rightarrow \infty$ ). Поэтому в дальнейшем для простоты мы ограничимся рассмотрением тепловых сопротивлений как функции взаимного влияния для полубесконечной среды.

Отметим, что решение, описываемое выражением (4), дает значение интеграла при  $r = R$  ( $l \gg R$ ), равное  $1.57 \simeq \pi/2$  и тогда

$$R_{(f=R)}^{\text{th}} = \frac{\pi}{2} R_0^{\text{th}} = \frac{1}{2\kappa d}, \quad \text{где } d = 2R.$$

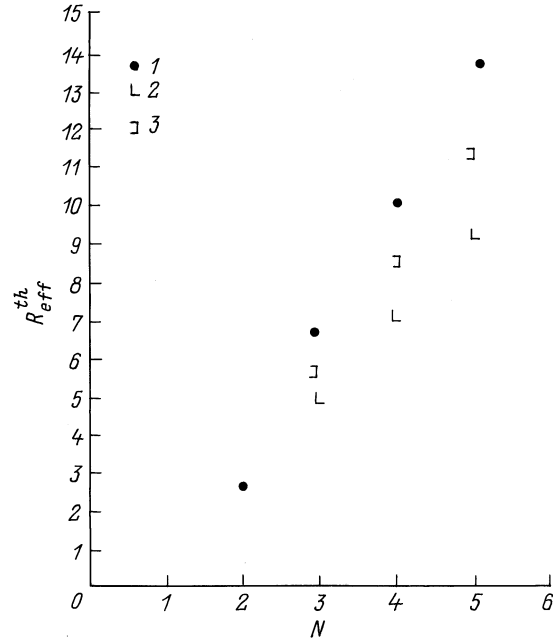
Аналогичным образом можно ввести так называемое эффективное тепловое сопротивление матрицы лазеров

$$R_{\text{eff}}^{\text{th}} = \sum_{i \neq j} R_{ij}^{\text{th}} = \gamma_N R_0^{\text{th}}, \quad R_0^{\text{th}} = \frac{1}{2\pi\kappa r_s}, \quad (5)$$

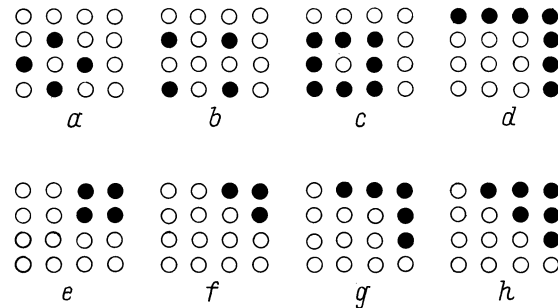
где  $r_s$  — параметр (шаг) "решетки" в матрице лазеров, а суммирование проводится по всем работающим лазерам.

Отметим, что величина  $\gamma_N$  существенным образом зависит от конфигурации работающих лазеров и показывает, насколько учет лазеров в матрице превышает тепловой вклад от ближайшего соседнего лазера. Таким образом,  $\gamma_N$  позволяет учитывать влияние на отдельный работающий лазер всех остальных лазеров матрицы. В итоге эффективное тепловое сопротивление дает возможность оценить изменение температуры данного лазера при включенных остальных, при этом считается, что в каждом из соседей выделяется одна и та же тепловая мощность.

На рис. 1 изображена зависимость эффективного теплового сопротивления для перекрестного взаимного влияния как функция размерности  $N$  массива лазеров  $N \times N$ . Из рисунка следует, что наибольшему влиянию подвержены лазеры, находящиеся в центральной



**Рис. 1.** Эффективное тепловое сопротивление для перекрестного влияния лазеров как функция числа элементов массива лазеров  $2 \times 2$ ,  $3 \times 3$ ,  $4 \times 4$ ,  $5 \times 5$  ( $1$  — центральный лазер,  $2$  — угловой лазер,  $3$  — краевой лазер).



**Рис. 2.** Различные конфигурации работающих лазеров (отмечены черными областями) матрицы  $4 \times 4$ .

области, чуть меньшему влиянию — краевые лазеры и наименьшему — угловые. Данные результаты можно объяснить тем, что тепловой поток от соседних лазеров увеличивает эффективное тепловое сопротивление лазеров в матрице, поэтому лазеры, находящиеся в центре матрицы, проявляют более высокое значение эффективного теплового сопротивления, так как они окружены большим числом лазеров.

Последующие численные результаты относятся к матрице лазеров  $4 \times 4$ . Были рассчитаны эффективные тепловые сопротивления для взаимного влияния на лазер с номером (3,2) при различных конфигурациях работающих лазеров в матрице  $4 \times 4$ . Перечень возможных конфигураций (темными кружками выделены работающие лазеры) приводится на рис. 2. Результаты расчетов

Тепловое сопротивление лазера с номером (3,2) в матрице  $4 \times 4$  в зависимости от конфигурации работающих лазеров

Тип конфигурации	Значение коэффициента $\gamma_N$ теплового сопротивления
<i>a</i>	4
<i>b</i>	2.83
<i>c</i>	6.83
<i>d</i>	3.14
<i>e</i>	1.96
<i>f</i>	1.25
<i>g</i>	2.25
<i>h</i>	2.96

тепловых сопротивлений для взаимного влияния различных конфигураций работающих лазеров на данный лазер сведены в таблицу.

## 2. Оценка электрического сопротивления подложки

Для того, чтобы были справедливы тепловые модели, решения для которых были представлены ранее, необходимо, чтобы в области подложки можно было бы пренебречь объемными тепловыми источниками. Иными словами, величина сопротивления в области подложки должна быть намного меньше активного сопротивления лазера.

Для оценки электрического сопротивления подложки воспользуемся аналогией между электрическими и тепловыми величинами, при которой возможно следующее соответствие:  $Q(t)$  — поток тепла  $\Leftrightarrow I(t)$  — сила электрического тока;  $\mathbf{q}$  — плотность потока тепла  $\Leftrightarrow \mathbf{j}$  — плотность электрического тока;  $T$  — температура  $\Leftrightarrow \varphi$  — потенциал;  $\kappa$  — коэффициент теплопроводности  $\Leftrightarrow \sigma$  — проводимость;  $C_p$  — теплоемкость  $\Leftrightarrow C$  — электрическая емкость.

Будем для простоты считать, что электрический ток вводится в область подложки с постоянной плотностью. Используя аналогию между электрическими и тепловыми величинами, можно сразу заключить, что решение для потенциалов в области  $z \geq 0$  будет описываться аналогичным выражением работы [13] с заменой  $q \Rightarrow j_0$ ,  $\kappa \Rightarrow \sigma = 1/\rho_e$ :

$$U_e(r, 0) = j_0 \rho_e R \int_0^\infty J_0(\lambda r) J_1(\lambda R) \frac{d\lambda}{\lambda}.$$

Усредненное значение потенциала будет равно

$$\langle U_e \rangle = \frac{\int_0^R U_e(r) 2\pi r dr}{\pi R^2} = \frac{8j_0 \rho_e R}{3\pi},$$

а среднее значение электрического сопротивления

$$\langle R_e \rangle = \frac{\langle U_e \rangle}{I_{0e}} = \frac{8\rho_e}{3\pi^2 R} = \frac{16\rho_e}{3\pi^2 d}. \quad (6)$$

Если подложка представляет собой слой конечной толщины  $l$ , то необходимо воспользоваться решением тепловой задачи [13] и тогда

$$\langle U_e \rangle = 2j_0 \rho_e R \int_0^\infty \tanh\left(\frac{l}{R}x\right) J_1^2(x) \frac{dx}{x^2} = \frac{8j_0 \rho_e R}{3\pi} \zeta_1\left(\frac{l}{R}\right),$$

где

$$\zeta_1\left(\frac{l}{R}\right) = \frac{3\pi}{4} \int_0^\infty \tanh\left(\frac{l}{R}x\right) J_1^2(x) \frac{dx}{x^2}.$$

Соответственно

$$\langle R_e \rangle = \frac{16\rho_e}{3\pi^2 d} \zeta_1\left(\frac{l}{R}\right). \quad (7)$$

График функции  $\zeta_1(l/R)$  показан на рис. 3. Видно, что с уменьшением толщины подложки ее омическое сопротивление также уменьшается.

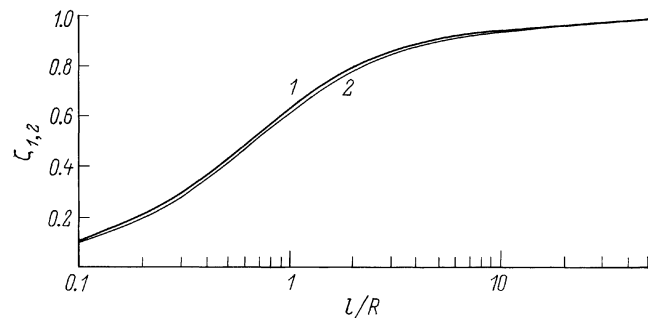


Рис. 3. Графики функций  $\zeta_{1,2}$ , характеризующие зависимость омического сопротивления подложки от ее толщины  $l$ .

Для оценки величины омического сопротивления подложки можно также использовать и другое модельное решение при постоянном значении потенциала в круговой области в плоскости  $z = 0$  ( $U_e(r) = U_{0e} = \text{const}$ ,  $r \leq R$ ). Полный ток оказывается равным

$$I = \int_0^R j(r) 2\pi r dr = \frac{4U_{0e}R}{\rho_e} = \frac{2U_{0e}d}{\rho_e},$$

а сопротивление  $R_e$

$$R_e = \frac{U_{0e}}{I} = \frac{\rho_e}{2d}. \quad (8)$$

В случае, если подложка представляет собой слой конечной толщины, в качестве потенциала следует выбрать решение в виде

$$U_e(r, z) = \frac{2U_{0e}}{\pi} \int_0^\infty \frac{\text{sh}[\lambda(l-z)]}{\text{ch}(\lambda l)} J_0(\lambda r) \frac{\sin(\lambda R)}{\lambda} d\lambda.$$

Тогда среднее значение потенциала в области  $z = 0$ ,  $r \leq R$

$$\langle U_e \rangle = \frac{\int_0^R U_e(r) 2\pi r dr}{\pi R^2} = U_{0e} \zeta_2 \left( \frac{l}{R} \right),$$

где

$$\zeta_2 \left( \frac{l}{R} \right) = \frac{4}{\pi} \int_0^{\infty} \tanh \left( \frac{l}{R} x \right) J_1(x) \sin x \frac{dx}{x^2}.$$

Для сопротивления тогда получим

$$\langle R_e \rangle = \frac{\rho_e}{2d} \zeta_2 \left( \frac{l}{R} \right). \quad (9)$$

График функции  $\zeta_2(l/R)$  также изображен на рис. 3.

Оценим величину омического сопротивления при протекании тока в области подложки. Используя численные значения для GaAs  $\rho_e = 4.0 \cdot 10^{-5}$  Ом·м и  $d \sim 10$  мкм, по формуле (6) получим  $\langle R_e \rangle \sim 2.2$  Ом, что значительно меньше омического сопротивления лазера ( $R_L \sim 1$  кОм), обусловленного в основном брэгговскими зеркалами. Аналогичная оценка с использованием (8) дает  $R_e \sim 2$  Ом.

### 3. Сравнение полученных результатов с экспериментальными данными

Как уже отмечалось, проявление тепловых эффектов в динамике ВИЛ связано с разогревом активной области и чрезвычайной чувствительности порогового тока к ее температуре. Особенно жестко тепловые эффекты проявляются для лазеров, работающих в непрерывном режиме. Другим проявлением тепловых явлений следует считать температурный сдвиг длины волны генерации лазеров в "красную" (длинноволновую) область.

Сравним теперь оценки тепловых сопротивлений с известными экспериментальными данными некоторых работ [3–5]. Сотрудники Калифорнийского университета исследовали взаимное влияние на тепловые свойства лазеров в матрице  $4 \times 4$  с характерным шагом 30 мкм и диаметром 7 мкм [3]. Лазерная структура выращивалась на основе полупроводниковой пластины  $n$ -типа GaAs методом молекулярно-лучевой эпитаксии и состояла из брэгговских зеркал (слои AlAs–GaAs) и активной области в виде трех квантовых ям  $\text{In}_{0.18}\text{Ga}_{0.82}\text{As}$  толщиной 80 Å. Лазеры изготавливались методом ионного травления и пассивировались слоями  $\text{Si}_3\text{N}_4$  толщиной 2500 Å. Пороговый ток 16 лазеров изменялся в пределах от 570 до 690 мкА и составлял среднее значение  $\langle I_{th} \rangle = 610$  мкА. Измеренное значение скорости теплового сдвига длины волны генерации  $\lambda_L = 975$  нм составило величину  $\Delta\lambda_L/\Delta T = 0.62$  Å/К.

Из экспериментальных данных работы [3] следовало, что тепловое сопротивление одиночных лазеров в значительной степени определялось коэффициентом теплопроводности "нижнего" брэгговского зеркала в

перпендикулярном к поверхности слоев направлении и составило 2720 К/Вт. Авторы работы [3] оценили среднее значение коэффициента теплопроводности материала  $\kappa = 0.28$  (Вт/см·К), что оказалось значительно меньше объемного значения в AlAs (0.91 Вт/см·К) и GaAs (0.45 Вт/см·К). Это экспериментальное значение лишь немногим превосходит значение для GaAs–AlAs-сверхрешеток [14] и указывает на то, что коэффициент теплопроводности в многослойных брэгговских зеркалах не может быть получен, исходя из объемных свойств материала, а должен определяться процессами рассеяния фононов на границах раздела.

В матрице  $4 \times 4$  лазеров рассчитанное авторами [3] значение эффективного теплового сопротивления оказалось равным 4287 К/Вт для центральных лазеров, 4110 и 3970 К/Вт для краевых и угловых лазеров соответственно. Это значения оказываются примерно на 50% выше измеренного значения теплового сопротивления отдельного одиночного лазера. Оценка теплового сопротивления одиночного лазера по формуле ( $R^{th} = 1/2\kappa d$ ) приводит к  $R^{th} \approx 2 \cdot 10^3$  К/Вт, что примерно на 30% ниже экспериментального значения.

Оценим величину теплового сопротивления при взаимном влиянии двух ближайших соседей, исходя из представленных на рис. 3 работы [3] данных. Для массива  $2 \times 2$  лазеров  $R_1^{th} = 2720$  К/Вт, а  $R_{eff}^{th} = 3.2 \cdot 10^3$  К/Вт, откуда получаем для  $R_0^{th} = 173$  К/Вт. Для массива  $4 \times 4$  лазеров исходя из данных работы [3] для центрального лазера  $R_0^{th} = 157$  К/Вт, для углового — 177 К/Вт, для краевого — 166 К/Вт. Таким образом, среднее значение  $R_0^{th} = 167$  К/Вт. Из оценки по формуле (5) получим  $R_0^{th} = 1.2 \cdot 10^2$  К/Вт ( $\kappa = 44$  Вт/м·К) и  $R_0^{th} = 1.5 \cdot 10^2$  К/Вт ( $\kappa = 35.4$  Вт/м·К). Соответствие экспериментальных и теоретических результатов неплохое, если принять  $\kappa = 35$  Вт/м·К, т.е. в реальных условиях тепловое сопротивление оказывается выше рассчитанного значения.

Интересно также сравнить оценки тепловых сопротивлений с экспериментальными данными работ [4,5]. В работе [4] исследовалась матрица  $8 \times 8$  ВИЛ, полученная с помощью технологии "перевернутого кристалла". Тепловые сопротивления, приведенные в [4], оказались равными 1210 и 660 К/Вт для лазеров с диаметрами 16 и 26 мкм соответственно. Оценим величину теплового сопротивления отдельного лазера. Поскольку в качестве подложки в [4] использовалось соединение  $\text{Al}_{0.1}\text{Ga}_{0.9}\text{As}$ , в качестве коэффициента теплопроводности  $\kappa$  необходимо выбрать значение  $\kappa = 44/(1+12.7x-13.22x^2)$  Вт/м·К, где  $x = 0.1$ . Тогда  $\kappa = 20.6$  Вт/м·К и для теплового сопротивления получим  $1.5 \cdot 10^3$  и  $0.9 \cdot 10^3$  К/Вт для лазеров с диаметрами 16 и 26 мкм. Таким образом, в реальных условиях тепловое сопротивление оказывается меньше ожидаемого, что может быть связано с монтажом матрицы по методу "перевернутого кристалла".

В работе [5] матрица ВИЛ  $2 \times 2$  создавалась с помощью технологии селективного окисления. Предполагалось, что тепловой сдвиг длины волны генерации равен  $0.56$  Å/К. Измеренные значения тепловых сопротивлений оказались равными 2550 и 2280 К/Вт для лазеров

с характерными размерами 2 и 3.5 мкм. Оценки по формуле  $R^{th} = 1/2kd$  (2) дают  $5.6 \cdot 10^3$  К/Вт ( $d = 2$  мкм) и  $3.2 \cdot 10^3$  К/Вт ( $d = 3.5$  мкм).

Измеренное значение теплового сопротивления для взаимного влияния ближайших соседей в [5] составило 140 К/Вт. Оценим данную величину, используя выражение (5). Тогда получим  $3 \cdot 10^2$  К/Вт и реальное значение оказывается примерно в 2 раза меньше ожидаемого.

## Заключение

Из полученных результатов следует, что тепловые сопротивления устройств в значительной степени определяются конструктивными особенностями как лазеров, так и матрицы в целом. В первую очередь это относится к тепловым сопротивлениям отдельных лазеров. Тепловые сопротивления с функцией взаимного влияния оказываются менее чувствительными к конструктивным особенностям, если только лазеры в матрице находятся на характерных расстояниях, превышающих линейные размеры отдельных элементов. При этом для учета и оценки теплового влияния лазеров друг на друга не существенно локальное распределение тепловых источников в объеме отдельного лазера. Предлагаемые модельные решения (безусловно, грубые для отдельного лазера) тем не менее могут давать приемлемое согласие с экспериментальными данными. В целом рассмотренные подходы к решению тепловых задач качественно согласуются с результатами экспериментов. Таким образом, приведенные аналитические решения вполне могут быть использованы для оценок тепловых величин.

В заключение автор выражает глубокую признательность В.В. Безотосному за полезные обсуждения рассматриваемых вопросов.

## Список литературы

- [1] M. Kajita, T. Numai, K. Kurihara et al. Jpn. J. Appl. Phys., Pt. 1, **33B**, 859 (1994).
- [2] Y. Ohiso, Y. Kohama, T. Kurokawa. Electron. Lett., **30**, 1491 (1994).
- [3] T. Wipiejewski, D.B. Young, B.J. Thibeault et al. IEEE Photon. Technol. Lett., **8**, 980 (1996).
- [4] Y. Ohiso, K. Tateno, Y. Kohana et al. IEEE Photon. Technol. Lett., **8**, 1115 (1996).
- [5] D.L. Huffaker, D.G. Deppe. IEEE Photon. Technol. Lett., **8**, 858 (1996).
- [6] M. Simizu, D.I. Babic, J.J. Dudley et al. Microwave & Opt. Technol. Lett., **6**, 455 (1993).
- [7] J.W. Scott, S.W. Corzine, D.B. Young, L.A. Coldren. Appl. Phys. Lett., **62**, 1050 (1993).
- [8] J.W. Scott, R.S. Geels, S.W. Corzine et al. IEEE J. Quant. Electron., **29**, 1295 (1993).
- [9] J. Piprek, S.J.B. Yoo. Electron. Lett., **30**, 866 (1994).
- [10] J. Piprek, H. Wenzel, G. Sztetka. IEEE Photon. Technol. Lett., **6**, 139 (1994).
- [11] G.H. Hadley, K.L. Lear, M.E. Warren et al. IEEE J. Quant. Electron., **32**, 607 (1996).

- [12] M. Osinski, W. Nakwaski. IEEE J. Select. Top. Quant. Electron., **1**, 681 (1995).
- [13] Г. Карслоу, Д. Егер. "Теплопроводность твердых тел" (М., Наука, 1964).
- [14] T. Yao. Appl. Phys. Lett., **51**, 1798 (1987).

*Редактор В.В. Чалдышев*

## Thermal reciprocal crosstalk in a vertical-cavity surface-emitting laser arrays

S.M. Zakharov

Institute for High-Performance Computer Systems,  
Russian Academy of Sciences,  
117872 Moscow, Russia

**Abstract** Thermal reciprocal crosstalk in a vertical-cavity surface-emitting lasers operating in the regime of matrix are considered. Thermal resistance for different configurations lasers in matrix are estimated.